

Impacts des changements climatiques sur les productions de fourrages (prairies, luzerne, maïs) : variabilité selon les régions et les saisons

F. Ruget¹, J.-L. Durand², D. Ripoche³, A.-I. Graux⁴,
F. Bernard², B. Lacroix⁵, J.-C. Moreau⁶

Récemment, plusieurs études, utilisant différents modèles et méthodes, ont été réalisées en France pour caractériser la variabilité du changement climatique et de ses effets sur les cultures fourragères, selon les régions et les saisons. Une analyse comparative dégage les tendances communes, globales qui se dégagent ainsi que les causes possibles de divergences.

RÉSUMÉ

Dans les 4 jeux de simulation étudiés (STICS ACTA-CC/STICS Climator féтуque/STICS ray-grass/PaSim Climator féтуque), méthodes de « régionalisation », scénarios d'émissions de gaz à effet de serre ou conditions d'application des modèles de cultures différent. Mais ces travaux convergent sur certaines évolutions : dans le futur proche, augmentation globale de production ; à court ou long terme : avance printanière, production hivernale, apparition ou accentuation du creux estival. A long terme, une diminution globale de production risque d'être provoquée par i) la forte augmentation de température et ii) les effets négatifs de la diminution des précipitations et de l'augmentation de l'ETP, malgré les effets positifs du taux de CO₂. Certaines hypothèses (augmentation du rayonnement et fertilisation) pourraient expliquer les divergences entre modèles.

SUMMARY

Impact of climate change on forage production (grassland, alfalfa, maize) : regional and seasonal variability

Recently, 4 simulation games using different models and methods were developed in France for characterizing climate change variability and its effect on forage crops, depending on the region and the season of year. A comparative analysis was used to determine global trends as well as possible causes of divergence. In the short term, results pointed to a global increase in production, and in the medium term, showed a spring advance, winter production, and a slump in the summer. In the longer term, a global decrease in production might be triggered by a high increase in temperature, the negative effect of lower rainfall, and the increase in ET, which the positive effect of higher CO₂ levels may not manage to compensate. Certain factors (with regards to sunshine and fertilization) could explain these divergences between models.

Les impacts des changements climatiques sur la production des cultures concernent tous les producteurs agricoles et les intéressent d'autant plus que leurs productions sont particulièrement dépendantes

des conditions du milieu, comme c'est le cas pour les prairies permanentes pour lesquelles les techniques, peu variables, ne permettent pas d'adaptations. De plus, les éleveurs sont particulièrement attentifs aux changements qui

AUTEURS

- 1 : INRA UMR 1114 EMMAH, Site Agroparc, F-84914 Avignon cedex 9 ; ruget@avignon.inra.fr
- 2 : INRA, URP3F, F-86600 Lusignan
- 3 : INRA US 1116 Agroclim, Site Agroparc, F-84914 Avignon cedex 9
- 4 : INRA, UR874 Ecosystème prairial, 5, chemin de Beaulieu, F-63039 Clermont-Ferrand
- 5 : ARVALIS-Institut du végétal, Station expérimentale, F-31450 Baziège
- 6 : Institut de l'Élevage, F-31320 Castanet-Tolosan

MOTS CLÉS : Changement climatique, croissance végétale, dioxyde de carbone, diversité régionale, facteur climat, France, luzerne, maïs fourrage, modèle de croissance, modélisation, prairie, prévision, production fourragère, variations interannuelles, variations saisonnières.

KEY-WORDS : Carbon dioxide, climatic change, climatic factor, forage maize, forage production, forecast, France, grassland, growth model, herbage growth, inter-annual variations, lucerne, modelling, regional diversity, seasonal variations.

RÉFÉRENCE DE L'ARTICLE : Ruget F., Durand J.-L., Ripoche D., Graux A.-I., Bernard F., Lacroix B., Moreau J.-C. (2013) : "Impacts des changements climatiques sur les productions de fourrages (prairies, luzerne, maïs) : variabilité selon les régions et les saisons", *Fourrages*, 214, 99-109.

peuvent être annoncés et à leurs effets car ils sont les fournisseurs directs principaux et quotidiens de l'alimentation de leurs animaux, quelles que soient les conditions climatiques. C'est ce qui explique leur grand intérêt pour les travaux permettant de « prédire » les effets du changement climatique : une bonne anticipation doit permettre de surmonter les difficultés ou d'assurer la fourniture alimentaire du troupeau, en toutes conditions et à tout moment.

Pour déterminer les stratégies d'adaptation de systèmes fourragers et d'élevage les plus appropriées, il est donc nécessaire de connaître les évolutions possibles ou attendues des principales productions fourragères. L'effet du changement climatique sur les cultures peut être estimé à partir des connaissances des météorologistes qui emploient soit des générateurs climatiques (pour fournir des séries climatiques pour le futur), soit des modèles de circulation générale (pour fournir les réponses des cultures aux facteurs climatiques, calculées à partir de modèles de cultures). Etant donné la grande diversité du climat en France (de l'océanique au continental, en passant par les climats méditerranéens et de montagne soit, par exemple, 7 climats sur les 13 de la stratification environnementale de l'Europe, JONGMAN *et al.*, 2006), on peut

facilement imaginer que les changements seront assez variables selon les zones climatiques.

L'objectif général du travail est d'**analyser la variabilité des conséquences du changement climatique selon les régions, les cultures fourragères et les saisons.**

Plusieurs recherches ont récemment abordé i) les questions de la productivité future de diverses cultures et de l'expression de l'effet de ces changements selon les conditions de milieu (sol) et les pratiques, ii) la question de la variabilité régionale qui pourrait résulter de ces changements et iii) la question de l'effet des outils employés (modèles de climat, méthodes de régionalisation des climats et modèles de culture variés). **La comparaison des résultats de plusieurs modèles de culture permet de renforcer les conclusions sur la variabilité régionale et saisonnière**, en recherchant quelles évolutions sont concordantes ou ne le sont pas.

Le présent travail s'appuie sur les **contrats ACTA MIREs** « Sensibilité des systèmes de grandes cultures et d'élevage herbivore aux changements climatiques » (dénommé ici ACTA-CC) et **ANR Climator** « Changement climatique, agriculture et forêt en France » qui se sont

	STICS ACTA-CC graminées	STICS Climator fétuque	STICS Climator ray-grass	PaSim Climator fétuque
Climat				
- modèle climatique	ARPÈGE (CNRM), de 1950 à 2100. 3 périodes sont analysées : le passé récent, dit présent (1980-2006), le futur proche (2020-2046, P), le futur lointain (2070-2096, L)			
- scénarios utilisés ⁽¹⁾	B1 et A2	A1B		A1B
- différences de climat		rayonnement		rayonnement
- régionalisation ⁽²⁾	Méthode des anomalies	Méthode « quantile - quantile » (QQ)		QQ
- climat présent	réel	Safran ⁽³⁾		Safran ⁽³⁾
- maillage	taille 50 km, 300 mailles	taille 8 km, 1 000 mailles		
- nombre de stations pour les études avec modèles de cultures	34 stations	12 stations		12 stations
Modèle de cultures et version	STICS 69 ⁽⁴⁾	64 Climator ⁽⁴⁾		PaSim
Paramètres de STICS qui diffèrent entre les études ⁽⁵⁾				
- caractéristiques des plantes ⁽⁵⁾	- pas d'effet d'anoxie - reprise possible, même en l'absence de coupe	- pas d'effet d'anoxie - pas de reprise possible après une certaine durée sans fauche (sécheresse) qui conduit à la mort du couvert	- sensibilité à l'anoxie - plus forte sensibilité aux stress hydrique et azoté - durée vie feuilles et racines + courte	<u>pas de comparaisons de paramètres ni de processus</u>
- propriétés du sol	infiltration rapide	infiltrabilité réduite	infiltrabilité réduite	
<p>1 : Les scénarios d'émissions de gaz à effet de serre (GES) définis par l'IPCC (2007) formalisent plusieurs hypothèses d'évolution des sociétés humaines (population, mode de consommation). Les scénarios A correspondent à un monde à objectifs plutôt économiques, tandis que les B mettent l'accent sur la réalisation d'objectifs environnementaux. Les scénarios 1 considèrent un monde tendant vers l'homogénéité et les 2, un monde maintenant une forte hétérogénéité de développement entre zones. Ainsi, le scénario B1 correspond au plus faible échauffement (+ 1,8°C en 2100 par rapport à la température moyenne de 2000) ; le scénario A1B est moins favorable, avec un réchauffement moyen plus fort, surtout à la fin du siècle (+ 2,8°C) ; le scénario A2 correspond à l'échauffement le plus fort (+ 3,6°C). Une série climatique, par exemple A2 L ou A1B P, est un jeu de données correspondant à un scénario, une échéance et une méthode de désagrégation.</p> <p>2 : Régionalisation ou désagrégation : les modèles de circulation générale qui fournissent les séries climatiques futures fonctionnent à l'échelle mondiale. Le volume des calculs nécessaires fait que la résolution est trop petite pour qu'on puisse les utiliser de façon fiable dans une zone aussi petite que l'intérieur de la France. On utilise donc des méthodes dites « de régionalisation » ou « de désagrégation », qui permettent d'obtenir des résultats fiables à une résolution plus fine. Les méthodes possibles sont multiples (GIORGI, 2008). Toutes ces méthodes s'appuient sur des données réelles (ou recalculées dans le cas de Safran) du présent pour tenir compte des spécificités locales.</p> <p>3 : Safran : méthode d'interpolation utilisée au CNRM permettant de passer de données réelles en stations à des données sur des mailles de 8 km de côté</p> <p>4 : Les deux versions de STICS utilisées (64 Climator et STICS 69) sont très proches l'une de l'autre : 64 Climator a été complétée pour quelques situations "particulières", par exemple enchaîner l'année de semis et les suivantes pour les prairies temporaires.</p> <p>5 : Les différences sont signalées pour chaque colonne par rapport à la précédente</p>				

TABLEAU 1 : Principales caractéristiques et différences des jeux de simulation des études utilisées dans ce travail.

TABLE 1 : Main characteristics and differences in simulation games used for studies.

Facteur	CO ₂	Température	Précipitations - ETP	Azote
Origine	climat	climat	climat	pratiques
Facteurs intermédiaires				climat et matière organique du sol
Processus	- photosynthèse - consommation d'eau	- vitesse des processus et durée des cycles - productivité (transformation du rayonnement en matière sèche)	- stress hydrique	- stress azoté - minéralisation
Conditions de l'action du facteur pour...				
- une augmentation	toujours	sous seuil	pas d'augmentation du déficit hydrique	fertilisation non limitante
- une diminution	jamais	au-dessus du seuil optimal	augmentation du déficit	fertilisation insuffisante

TABLEAU 2 : Effets du changement climatique sur les principaux processus de la production et leur prise en compte dans STICS.

TABLE 2 : Effects of climatic change on main production processes and integration of this data by STICS software.

déroulés respectivement de 2006 à 2008 et 2007 à 2010. Comme ils ont employé des options différentes, ils aboutissent à des résultats parfois semblables, parfois différents. **Tenter de rassembler et confronter les résultats de ces différents travaux permettra de voir quels résultats sont stables quelles que soient les méthodes.** L'article est centré sur l'analyse de la variabilité des effets du changement climatique entre régions, à partir des résultats de l'étude ACTA-CC (graminées fourragères, luzerne, maïs fourrage). Cette analyse est suivie de la comparaison de quelques résultats emblématiques sur la production des graminées fourragères des études ACTA-CC (obtenus avec STICS) et Climator (obtenus avec STICS et PaSim).

Rappelons que le CO₂ a deux effets positifs sur la production : augmentation de la production primaire et diminution de la transpiration du couvert par fermeture stomatique. La prise en compte et la formalisation de ces effets peuvent avoir une forte influence mais leur effet à long terme et leur amplitude sont assez controversés dans la bibliographie (LONG *et al.*, 2006 ; BETTS *et al.*, 2007) à cause de l'atténuation possible de ces effets à long terme suite à l'adaptation des plantes. Même s'il y a accord sur le caractère positif de l'effet du CO₂ pour la production végétale, on présentera, pour les graminées, les résultats avec et sans prise en compte de l'effet du CO₂, de façon à illustrer cet effet et son ampleur, même si l'hypothèse d'absence totale d'effet est plus pessimiste que la réalité.

1. Matériel et méthodes

Les **scénarios d'émission de gaz à effet de serre (GES)** analysés à partir de ces 2 études et utilisés dans cette comparaison ne sont pas les mêmes : un scénario modéré et un scénario accentué (B1 et A2) pour ACTA-CC, et un scénario modéré (A1B) pour Climator (IPCC, 2007). Le tableau 1 présente les principales différences d'hypothèses entre les 2 études et recense les données d'entrée (climat, sol, plante, techniques) des simulations sur graminées qui seront comparées dans la dernière partie du travail.

Les **modèles climatiques** ont pour sorties les variables climatiques à partir desquelles seront faites par

régionalisation les séries utilisées en entrées dans les modèles. Elles comportent les variables climatiques journalières utiles : température minimum et maximum, rayonnement, précipitations, ETP Penman, vent et humidité.

Les **méthodes de « régionalisation »** des sorties du modèle climatique, Arpège, fait au CNRM (Centre National de Recherches Météorologiques), sont différentes entre les 2 études (tableau 1) : dans ACTA-CC est utilisée la méthode dite des anomalies, c'est-à-dire des différences (ou rapports) entre les estimations climatiques pour les différentes échéances du futur et pour le présent, anomalies calculées en moyenne trentenaire (RUGET *et al.*, 2010) ; Climator utilise la méthode « quantile - quantile » (QQ), qui permet de respecter la distribution réelle de chaque variable climatique, résultats présentés en moyenne trentenaire (TERRAY *et al.*, 2010). Cette dernière méthode évite de devoir reproduire la variabilité observée entre jours (répartition des pluies) et permet de représenter l'augmentation de la fréquence et l'accentuation de l'intensité des événements extrêmes de type vagues de chaleur et sécheresse estivale.

Les 2 études ont été réalisées à partir de données de stations météorologiques : 34 dans ACTA-CC (stations Météo France) et 12 dans Climator (stations INRA, sauf Saint-Etienne) dont 6 sont très proches de 6 stations d'ACTA-CC et 3, quoiqu'un peu plus distantes et dans des conditions topographiques différentes, seront tout de même comparées (cf. plus loin).

Deux « **modèles de cultures** » ont été utilisés. Pour STICS, la plupart des paramètres caractérisant la plante sont communs entre l'étude ACTA-CC et l'étude Climator.

Il existe des **différences entre les pratiques choisies pour chaque étude** : le niveau de fertilisation (200 kg N/ha/an dans Climator et 50 dans ACTA-CC), le mode de déclenchement des fauches (à dates fixes dans Climator, dépendant de la température dans ACTA-CC). Les simulations sont continues, avec semis tous les 5 ans dans Climator, alors que les années sont individuelles et considérées comme des répétitions dans ACTA-CC.

Le tableau 2 recense les effets des différents facteurs climatiques et leur prise en compte dans STICS ; il fournit une grille d'analyse des résultats qui sera utilisée dans le commentaire des productions simulées.

Scénario (années)	Situation actuelle (1980-2006)	B1 P (2020-2046)	B1 L (2070-2096)	A2 P (2020-2046)	A2 L (2070-2096)
Température moyenne ⁽¹⁾ (°C)	9,5	10,6	11,5	10,5	13,3
Précipitations ⁽¹⁾ (mm)	1 063	1 036	971	1 068	891
ETP Penman ⁽¹⁾ (mm)	618	696	780	659	899

1 : valeurs brutes (non régionalisées) et moyennes sur toute la France (y compris les zones de montagne) ; elles ne doivent être considérées que de façon relative pour l'évolution entre périodes.

TABLEAU 3 : **Principales caractéristiques climatiques des sorties de Arpège.** Moyenne des données brutes (sans désagrégation) des 3 variables principales (température, précipitations, ETP) à l'échelle nationale (390 mailles).

TABLE 3 : **Main climatic characteristics of Arpège output.** Average raw data (non-disaggregated) for the 3 main variables (temperature, rainfall, ET) on a national scale (390 grid squares).

2. Résultats

■ Evolution du climat avec ACTA-CC

On constate (tableau 3) une forte ressemblance entre les scénarios dans le futur proche (B1P et A2P), mais une forte différence de température et, dans une moindre mesure, de précipitations et d'ETP entre les scénarios B1L et A2L (futur lointain). A l'échelle de l'ensemble de la France, dans le futur lointain, l'augmentation de température moyenne est nettement plus faible en B1 que A2.

• Les zones de l'Analyse Factorielle Multiple Spatialisée

Les résultats régionaux de l'étude ACTA-CC seront présentés à partir des zones définies au sein de cette étude par une AFMS¹ (POISSON, 2009 ; RUGET *et al.*, 2010 ; figure 1). Ce zonage, élaboré spécialement, définit des

zones qui ressemblent aux zones climatiques classiques ainsi qu'au découpage de l'Europe de JONGMAN *et al.* (2006) : ce rapprochement permettra la comparaison de nos résultats avec ceux des indices agroclimatiques mis au point par OLESEN *et al.* (2011) et utilisés en conditions de changement climatique par TRNKA *et al.* (2011).

Les résultats seront présentés en « anomalies » (différence ou rapport entre le futur et le présent) pour les variables climatiques et en variation relative pour les rendements, avec un classement par zone climatique de l'AFMS.

• Evolution de la température (scénario et régionalisation d'ACTA-CC)

L'augmentation de température est faible dans le **futur proche** (figure 2a) : quelle que soit la saison, il y a peu de différences entre les 2 scénarios. Au contraire, l'augmentation de température est forte dans le **futur**

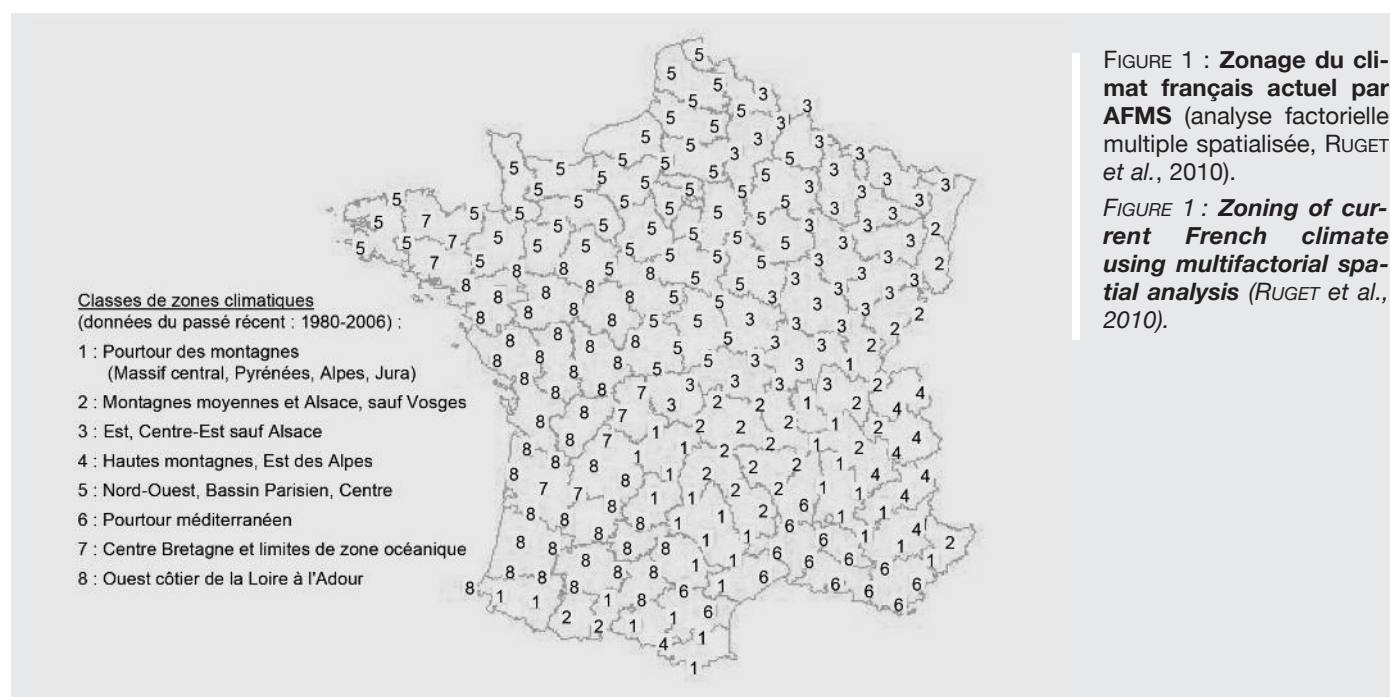


FIGURE 1 : **Zonage du climat français actuel par AFMS** (analyse factorielle multiple spatialisée, RUGET *et al.*, 2010).

FIGURE 1 : **Zoning of current French climate using multifactorial spatial analysis** (RUGET *et al.*, 2010).

1 : Analyse factorielle multiple spatialisée, méthode développée en France par ESCOFFIER et PAGÈS (1998)

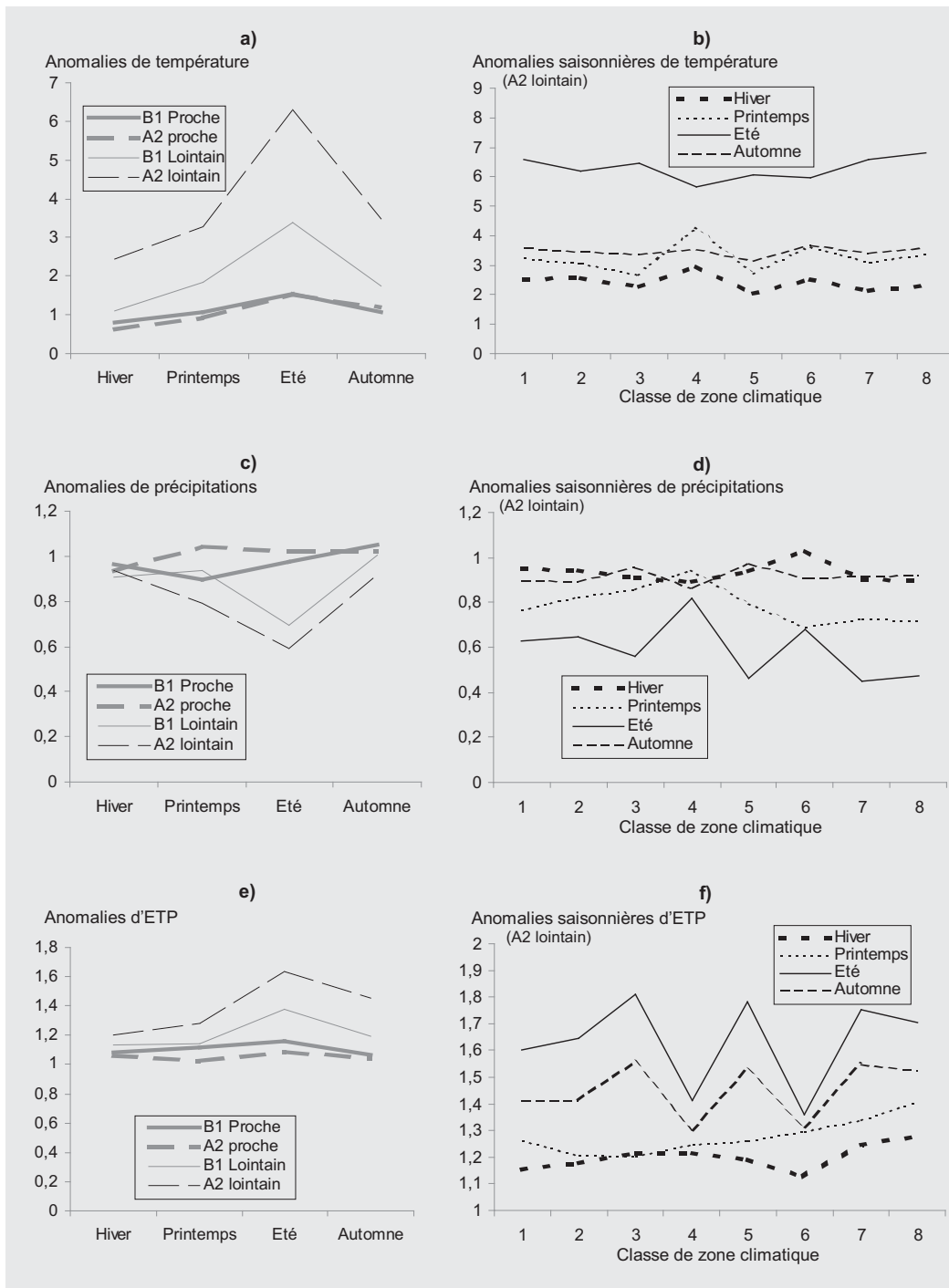


FIGURE 2 : Répartitions saisonnière et spatiale des anomalies de température (a et b, différence par rapport au présent, °C), de précipitations (c et d, facteur multiplicatif des valeurs du présent) et d'ETP (e et f, idem) (figures a, c, e : valeurs moyennes pour l'ensemble des 235 mailles recouvrant la France ; figures b, d, f : moyenne des mailles de chaque zone de l'AFMS).

FIGURE 2 : Seasonal and spatial distribution of abnormal temperatures (a and b, difference compared to current temperature), rainfall (c and d, multiplicative factor of current values) and ET (e and f, idem) (figures a, c, e : mean values for all 235 grid squares covering France ; figures b, d, f : mean values for grid squares in each zone as determined by the multifactorial spatial analysis).

lointain, tout particulièrement en été, et surtout dans le scénario A2. Pour les régions (figure 2b), dans le futur lointain (scénario A2L), les anomalies sont positives en toutes saisons, mais elles sont plus fortes en été, quelle que soit la région. Dans la zone de haute montagne (classe 4), les différences entre saisons sont plus faibles qu'ailleurs. Les plus fortes augmentations de températures ont lieu dans les zones « ouest côtier » (classe 8) et « pourtour des montagnes » (classe 1). En résumé, l'effet de la saison est très net, ainsi que l'effet de la région sur les températures estivales (Sud-Ouest) et les températures de toutes les saisons en haute montagne.

• Evolution des précipitations (scénarios et régionalisation d'ACTA-CC)

Les changements de précipitations sont **très variables selon les saisons et selon l'échéance** (figure 2c). La très forte **baisse des précipitations en été** a lieu pour presque toutes les régions ; elle est moins marquée en haute montagne et sur le pourtour méditerranéen, donc sur le quart Sud-Est de la France. Cette estimation est assez différente de ce qui est estimé dans des études sur le passé récent (Climfourrel, LELIÈVRE *et al.*, 2011) où aucune évolution n'est mise en évidence, peut-être en raison de la très forte variabilité interannuelle des précipitations, particulièrement dans cette région. En

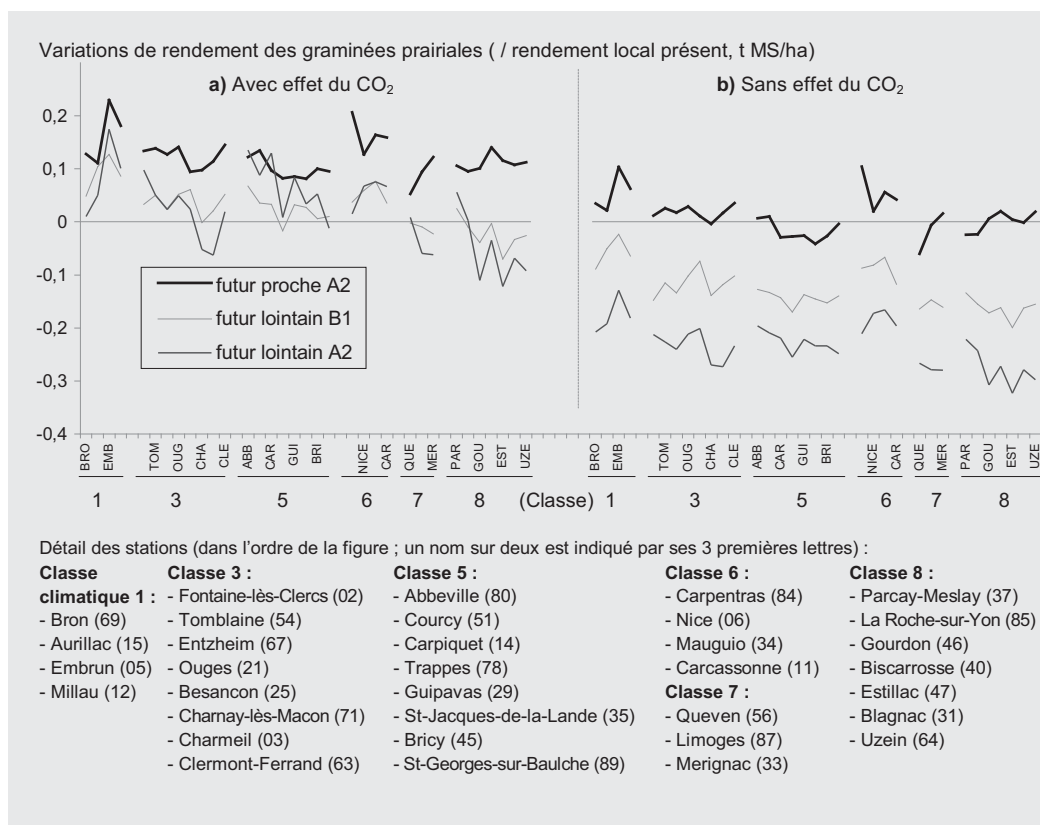


FIGURE 3 : Variations du rendement annuel de la prairie (par rapport au rendement local présent) par station, pour 3 séries climatiques, avec ou sans prise en compte de l'effet du CO₂ (moyenne sur 27 ans, stations classées par zone de l'AFMS).

FIGURE 3 : Variations in annual grassland yield (compared to current local yield) per station, for 3 climatic series, with and without taking into account the effect of CO₂ (mean values over 27 years, stations ranked based on zones determined by the multifactorial spatial analysis).

résumé, l'effet de la saison est très net : la réduction de précipitations est plus forte (figure 2c) et plus variable (figure 2d) en été ; la réduction est forte dans toute la moitié Ouest (classes 5, 7 et 8) et particulièrement forte dans le quart Sud-Ouest (classe 8).

• Evolution de l'ETP (scénarios et régionalisation d'ACTA-CC)

L'ETP climatique est **augmentée dans tous les cas**. Comme les précipitations, l'ETP est particulièrement affectée en été. De plus, elle l'est aussi en automne. L'augmentation d'ETP est plus variable selon les régions (figure 2f) en été et en automne qu'aux autres saisons ; l'augmentation est forte dans toute la moitié Ouest (classes 5, 7 et 8) ainsi que dans le quart Nord-Est (classe 3).

■ Evolution des productions dans l'étude ACTA-CC

En raison de la proximité des climats B1P et A2P, nous ne présentons ici que les résultats de production du scénario A2P.

• Production des prairies

La figure 3 illustre les variations relatives de rendements moyens par lieu selon les scénarios et échéances, ainsi que l'effet de la non prise en compte des effets du CO₂. **Avec l'accroissement du taux de CO₂** (figure 3a), il y a **augmentation des rendements** (de 10 à 20 % selon les stations) dans le futur proche et augmentation plus faible, voire diminution (une dizaine de stations), dans le

futur lointain avec des écarts plus forts en A2 qu'en B1. Les diminutions de rendements observées peuvent être expliquées par l'augmentation de l'ETP qui provient elle-même de celle de la température, accentuant le stress hydrique. Dans le Sud-Ouest (Gourdon, Agen, Toulouse et Pau), où les augmentations de température sont particulièrement fortes (classe 8 de l'AFMS), les rendements sont également diminués par les effets défavorables des températures trop élevées (cf. tableau 3). Notons néanmoins que ces effets sont rares : les températures moyennes sont rarement au-dessus du seuil de 25°C défavorable à la croissance végétale et exceptionnellement au-dessus du seuil de 30°C qui bloque toutes les fonctions (non illustré).

Si on ignore l'effet du CO₂ (figure 3b), le sens des résultats est opposé :

- il n'y a qu'une légère augmentation des rendements dans le futur proche et dans le Sud-Est, à Montpellier, Carpentras et Embrun, probablement grâce aux accroissements de températures hivernales avec un impact limité au cours des printemps car ils deviennent plus secs ;

- quel que soient le lieu et le scénario, les rendements estimés diminuent toujours dans le futur lointain.

La représentation saisonnière, en moyenne de 10 stations où les dynamiques ont été analysées (non illustré), permet de montrer que **la production estivale diminue** pour tous les scénarios, même quand la production annuelle ne diminue pas (scénario A2P). Au contraire, la production hivernale augmente toujours, mais en faible proportion, ce qui ne peut représenter que de faibles quantités.

La forte diminution de la production estivale dans le futur lointain (production à 20 % de sa valeur actuelle)

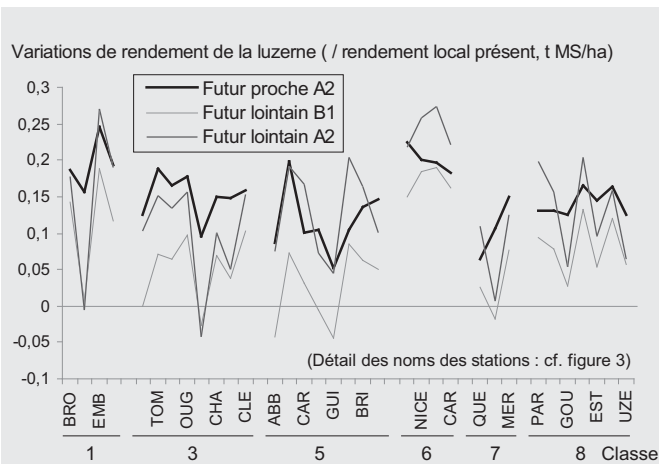


FIGURE 4 : Variations du rendement annuel de la luzerne, pour 3 séries climatiques (moyenne sur 27 ans par station ; stations classées par zone de l'AFMS, cf. figure 3).

FIGURE 4 : Variations in annual alfalfa yield, for 3 climatic series (mean values over 27 years, stations ranked based on zones determined by the multifactorial spatial analysis, cf. figure 3).

peut être expliquée par la diminution des précipitations et l'augmentation de l'ETP, tandis que l'augmentation de température n'est défavorable que dans les cas extrêmes (forte augmentation de température du quart Sud-Ouest).

• Production du maïs

Il y a **toujours augmentation des rendements du maïs** (RUGET *et al.*, 2012a, non illustré ici) car les semis sont avancés de 2 à 4 semaines (les plus tardifs, correspondant aux régions plus froides, sont moins avancés), comme on le constate dans la pratique depuis une quarantaine d'années. Les variétés employées sont plus tardives de 2 groupes de précocité, donc adaptées aux nouvelles conditions. L'augmentation de rendement se réduit dans le futur lointain en conditions non irriguées, surtout dans la moitié Ouest à cause de la réduction des précipitations sur la zone océanique (classes 5 et 8).

• Production de la luzerne

Avec prise en compte des effets du CO₂ (figure 4), il y a **presque toujours une augmentation de production**, quels que soient l'échéance et le scénario : dans seulement 4 cas (sur 34 stations), la production est légèrement diminuée, et très faiblement dans le futur lointain ; c'est le cas à Abbeville, Brest, Limoges, Aurillac, Besançon où le climat humide favorise déjà actuellement les rendements.

Dans le futur lointain, la différence de comportement entre luzerne et graminées subsisterait -le climat serait plus favorable pour la luzerne que pour les graminées (cf. RUGET *et al.*, 2012a)-; cette différence serait liée à l'absence de stress azoté chez la luzerne au printemps, période potentiellement très productive (car sans stress hydrique), grâce à la fixation symbiotique, tandis que les graminées subiraient un stress azoté à cette période, sauf si la fertilisation était plus élevée.

■ Cohérence des estimations ACTA-CC avec les résultats de Climator : quelles similitudes, quelles différences et pourquoi ?

Les climats sont comparés en termes de température moyenne annuelle et de précipitations pour 6 stations très voisines et 3 un peu plus éloignées².

• Analyse des évolutions climatiques : température, précipitations et rayonnement

Dans le futur proche, il apparaît peu de différences entre les deux études pour chacun des 3 scénarios. Dans le futur lointain, la **température** est sensiblement plus élevée dans le scénario A2 (toutes stations) que pour les autres scénarios.

Les analyses de la répartition spatiale des changements de **précipitations** (TERRAY *et al.*, 2010) avec Climator sont assez semblables à celles de l'étude ACTA-CC (POISSON, 2009) avec, par exemple, une augmentation des pluies hivernales dans le Sud-Est.

L'analyse (non illustrée) des températures moyennes et des précipitations cumulées annuelles pour les différentes échéances dans les stations communes (ou proches) montre des précipitations sensiblement plus fortes dans ACTA-CC que dans Climator, pour toutes les échéances et tous les lieux, même dans le présent (rôle de la désagrégation (Climator) ou de la localisation précise des stations observées (ACTA-CC) ?). De plus, les précipitations sont également plus variables entre échéances pour certaines stations dans ACTA-CC que dans Climator.

TERRAY *et al.* (2010) signalent une petite différence de **rayonnement** : environ 10 W/m² en moyenne annuelle par jour pour toutes les stations entre chacune des échéances soit environ 7 % entre chacune des périodes. Cette différence est proche de celle d'environ 10 % calculée sur les rayonnements moyens des mois d'été des mêmes séries entre le présent et le futur lointain. Cette augmentation devrait entraîner une augmentation du même ordre de grandeur des productions journalières. Aucune différence n'a été signalée ni appliquée dans l'étude ACTA-CC, alors que la différence citée a été prise en compte dans Climator.

En conclusion, pour ce qui est du climat, les grandes tendances des changements sont communes : il s'agit de l'**augmentation des températures, surtout les maximales et surtout l'été**, ainsi que d'une **diminution des précipitations, surtout nette dans le futur lointain**. Dans le futur proche, il y a parfois peu de

2 : Les 6 stations Climator et ACTA-CC proches sont : Mons-en-Chaussée et Saint Quentin, Versailles et Trappes, Rennes INRA (Le Rheu) et aéroport (Saint-Jacques-de-la-Lande), Bordeaux INRA (Villenave d'Ornon) et aéroport (Mérignac), Toulouse INRA (Auzeville) et aéroport (Blagnac), Dijon INRA (Epoisses) et aéroport (Longvic, Ouges). Les 3 paires de stations un peu plus distantes sont : Lusignan et La Roche-sur-Yon (cette dernière étant plus proche de la mer), Saint-Etienne (Andrézieux-Bouthéon) et Vichy (Charmeil), respectivement dans les Limagnes de Loire et d'Allier, ainsi qu'Avignon et Carpentras (vallée du Rhône et pied du Ventoux)

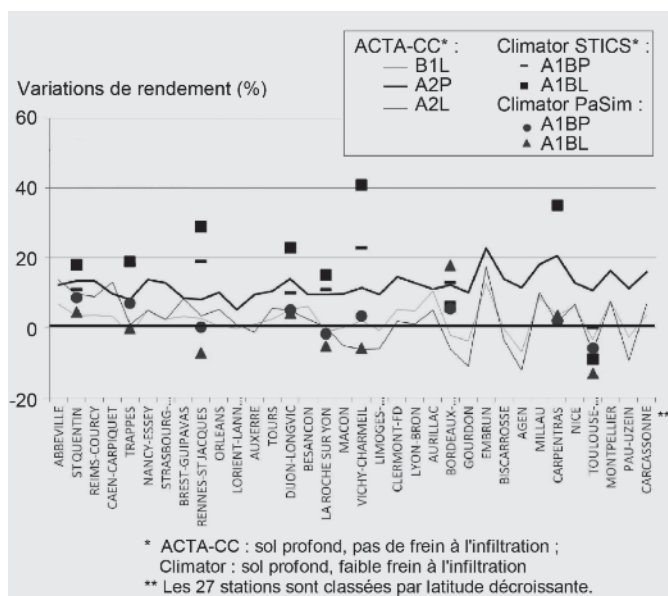


FIGURE 5 : Variations relatives des rendements de graminées prairiales dans les différents climats en fonction des rendements dans le passé récent.

FIGURE 5 : Relative variations in forage grass yield in different climates based on yield in recent years.

changement (moins de 10 %), mais seulement une préfiguration du futur avec un début de diminution des précipitations estivales.

Enfin, le scénario utilisé dans ACTA-CC le plus comparable au scénario de Climator est le scénario B1, qu'il s'agisse des températures ou des précipitations. Ce résultat est cohérent avec les émissions de GES prévues dans chacun de ces scénarios (IPCC, 2007, non illustré). Par conséquent, c'est le scénario B1 qui sera utilisé pour la comparaison des productions faites avec STICS dans ACTA-CC et Climator pour le futur lointain.

• Analyse des évolutions de productions annuelles

Avec STICS et dans l'étude Climator (DURAND et al., 2010), on observe une augmentation très nette de la production de la fétuque élevée dans les futurs proche et lointain, qu'il s'agisse de moyennes entre stations (figure 5) ou de résultats locaux. Pour le ray-grass anglais, l'augmentation est beaucoup plus faible. Dans cette même étude, PaSim prévoit une augmentation de la production dans le futur proche plus faible que celle de STICS pour ces 2 espèces prairiales. Dans le futur lointain, la production fourragère simulée par PaSim est inférieure à la production du futur proche et même de la période actuelle dans 4 des sites étudiés ici.

La comparaison des variations de rendements annuels cumulés estimés par STICS dans Climator et dans ACTA-CC pour les stations semblables ou voisines fait apparaître des variations systématiquement plus fortes dans Climator que dans ACTA-CC (figure 5). Les variations de rendements sont même toujours positives

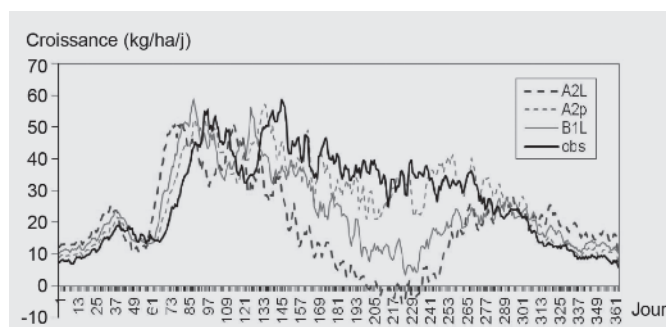


FIGURE 6 : Evolution de la production journalière d'une prairie de graminées en situation actuelle (obs) et dans les 3 séries climatiques (exemple de Pau).

FIGURE 6 : Evolution of daily production for grassland in the current context (obs) and for the 3 climatic series (example of Pau).

dans Climator sauf dans un cas (Toulouse), alors qu'elles sont souvent négatives (par rapport au présent) dans le futur lointain pour ACTA-CC. La différence la plus importante entre les résultats d'ACTA-CC et ceux de Climator est le sens de variation des rendements entre le futur proche et lointain : tandis que, dans ACTA-CC, le rendement, qui a d'abord augmenté dans le futur proche, diminue dans le futur lointain par rapport au futur proche et peut même diminuer par rapport au présent, les rendements augmentent encore plus dans le futur lointain dans Climator.

Les productions annuelles estimées par PaSim Climator suivent des évolutions un peu plus proches de celles de STICS ACTA-CC que de STICS Climator. Sauf pour Bordeaux, dont la production augmente encore dans le futur lointain, la production diminue toujours par rapport au passé récent. Pour PaSim, comme pour STICS ACTA-CC, les productions sont généralement sensiblement diminuées dans le futur lointain pour le scénario A2 (non représenté). Toujours pour les cumuls annuels de production obtenus avec PaSim, les différences entre espèces (fétuque et ray-grass) sont peu importantes. Le choix de la méthode de régionalisation (« QQ » ou « anomalies ») dans le cas du scénario A1B influe peu sur l'ordre de grandeur des cumuls annuels de production dans le futur, mais les sens d'évolution sont souvent inverses entre les 2 méthodes de désagrégation dans le futur lointain.

Pour le maïs, les résultats de Climator sont contradictoires avec ceux d'ACTA-CC : l'absence d'augmentation de rendement dans le cas de Climator peut être reliée à l'absence d'adaptation des pratiques (date de semis fixe et pas de changement de variété).

• Croissance journalière (prairies de graminées)

La dynamique de croissance, illustrée figure 6, montre les grandes étapes de la production au cours de l'année. Le changement de la dynamique de production

est systématique pour tous les jeux de simulation ; il se retrouve dans les 3 jeux de simulation ACTA-CC/STICS, Climator/STICS (RUGET *et al.*, 2012a et b ; DURAND *et al.* 2010) et dans une moindre mesure dans Climator/PaSim (GRAUX *et al.*, 2013a). Il peut être décliné pour chacune des 3 grandes périodes de la production :

- **Au printemps : la production est plus précoce**, à cause de l'élévation de température, qui accélère le développement et la mise en place des feuilles mais augmente aussi la production primaire (STICS). Dans le futur proche, production printanière journalière et cumulée sont augmentées, que ce soit avec STICS (dans les 2 études) ou avec PaSim. Ces faits sont d'autant plus marqués dans STICS ACTA-CC que la réduction de précipitations, sensible seulement pour le futur lointain en A2 dans la moitié ouest (zones 7 et 8) et le pourtour méditerranéen (zone 6, figure 2d), reste à un niveau faible par rapport à celle de l'été ; le déficit hydrique (diminution de précipitations, augmentation d'ETP) peut être en partie compensé par l'effet réducteur de transpiration du CO₂. Le stress hydrique n'apparaît donc, éventuellement, qu'en fin de printemps avec STICS, quel que soit le rythme des utilisations printanières. Dans le futur lointain, même si la production est encore plus précoce, la production printanière cumulée diminue (par rapport au présent) en scénario B1, sauf à Rennes, Caen, Nancy et Saint Quentin, et plus nettement en scénario A2. C'est un effet de la diminution de disponibilité de l'eau. Avec PaSim, la production printanière est stimulée dans le futur lointain, sous réserve d'une disponibilité des ressources en eau (réserve des sols, pluviométrie) suffisante à cette période (GRAUX *et al.*, 2013a).

- **En été : creux estival accentué, quel que soit le lieu, pour STICS** : à toutes les échéances, quel que soit le scénario, la production estivale est nettement diminuée par rapport au présent, que ce soit dans ACTA-CC pour les 10 stations étudiées ou dans Climator où une seule dynamique est étudiée, celle de Rennes.

Avec le scénario A2L (en moyenne sur 27 ans), dans l'étude ACTA-CC, une **période à production journalière nulle** existe dans la plupart des lieux dont la production journalière a été analysée ; cette période est assez courte en moyenne montagne (Besançon, Aurillac) et plus forte dans la zone Sud-Ouest (La Roche-sur-Yon, Limoges, Pau, zone 8, et même Rennes, zone 7), où les précipitations estivales sont particulièrement réduites (figure 2d), et à Mâcon (extension de la zone 6, région méditerranéenne, comme le suggèrent LELIÈVRE *et al.*, 2011). À Caen, Nancy et Saint-Quentin, la production moyenne journalière devient très faible sans atteindre une valeur nulle.

Pour PaSim, dans la plupart des cas, la production estivale se maintient à des niveaux de production non significativement différents des niveaux actuels, mais pourrait chuter dans le futur lointain, jusqu'à -30% ou -40% de la production actuelle, dans des conditions d'extrême aridité, selon la classification de E. de MARTONNE (GRAUX *et al.*, 2013a).

- **En hiver, l'existence d'une pousse hivernale** est mise en évidence dans toutes les études. Même si le pourcentage d'augmentation (figure 6) paraît fort, le tonnage représenté reste assez faible. De plus, les estimations sont incertaines car elles dépendent beaucoup des seuils thermiques fixés pour le développement et la croissance à basse température, qui sont à la fois mal connus et peuvent évoluer avec les espèces et variétés cultivées (résistance à la sécheresse et sensibilité au froid, *cf.* DURAND *et al.*, 2013). Donc, **si une augmentation de production est indéniable, son ampleur est incertaine**. Sans permettre la constitution de stocks, cette augmentation pourra néanmoins réduire les besoins des stocks d'hiver. C'est en zone méditerranéenne (où les températures hivernales deviennent vraiment favorables) que la pousse hivernale acquiert le plus d'importance, d'autant moins négligeable que celle d'été est faible.

Une caractéristique importante des évolutions de production est la **durée des périodes où l'on doit recourir aux stocks**. MOREAU *et al.* (2009) ont suggéré une définition des saisons par les vitesses journalières de production et la possibilité de satisfaire les besoins du troupeau sans stocks. Plus récemment, SAUTIER *et al.* (2013) définissent à l'échelle annuelle la durée des saisons fourragères à partir de l'analyse des profils de croissance de l'herbe en comparaison des besoins d'un troupeau. Le positionnement des périodes où les animaux sont affouragés en complément de l'herbe pâturée et leurs durées pourraient varier largement dans le futur, avec une redistribution possible en été des fourrages conservés, habituellement stockés pour l'alimentation hivernale (GRAUX *et al.*, 2013a) : **les besoins de l'hiver diminueraient** (pâturage plus tardif à l'automne et plus précoce au printemps) tandis que **ceux d'été augmenteraient** (apparition ou allongement de la période d'alimentation sur stocks). Les durées de ces différentes périodes seront un terme d'analyse important des systèmes futurs.

3. Discussion : convergences et divergences entre les approches ACTA-CC et Climator

Des points d'accord apparaissent entre les 4 jeux de simulation (STICS ACTA-CC/STICS Climator fétuque/STICS Climator ray-grass/PaSim Climator fétuque) : i) **l'augmentation de production dans le futur proche**, qui peut être reliée à l'augmentation modérée de température et à la stabilité des précipitations et ii) l'évolution saisonnière de la production journalière.

Du point de vue de **l'évolution saisonnière**, il y a :

- augmentation de la production en période froide, c'est-à-dire en hiver et au début du printemps, à cause de l'augmentation de température, ce qui conduit à une avance de la production printanière. Cet avantage est particulièrement sensible dans les zones où l'hiver est doux, c'est-à-dire où une petite augmentation de température

permet d'atteindre des températures où la production devient non négligeable, comme en zone méditerranéenne ;

- diminution de la production en période estivale, d'abord à cause de l'augmentation du stress hydrique, lié à l'augmentation d'ETP (elle-même liée à l'augmentation de température) puis à la diminution significative des précipitations (partout dans le futur lointain) et, enfin, dans les cas les plus pessimistes, à l'augmentation des températures, qui atteignent des gammes où leur effet devient néfaste ;

- allongement ou apparition d'une période non productive en été pouvant se poursuivre en début d'automne. Cet effet est moins net avec PaSim, où la diminution estivale de production n'est pas toujours significative, sauf dans le futur lointain pour les zones de forte aridité. L'absence de netteté de l'effet provient sans doute de la multiplicité des conditions traitées (scénarios, régionalisation, pratiques, sols... ; GRAUX *et al.*, 2013a) et incite à relativiser encore les variations observées. Les différences observées entre STICS ACTA-CC et PaSim Climator n'ont pas été analysées, en raison des multiples sources possibles, dont les principes des modèles (cf. GRAUX *et al.*, 2013b).

A une échelle plus globale, ces résultats sont cohérents avec ceux -moins nuancés- obtenus pour l'ensemble de l'Europe par des indices agroclimatiques par TRNKA *et al.* (2011) qui montrent, dans nos régions, à échéance de 2030, une augmentation de la sécheresse estivale, accompagnée d'un raccourcissement de la saison productive, particulièrement dans les régions les plus méridionales.

Diverses études confirment ces évolutions (cf. par exemple les adaptations prévisibles du calendrier d'affouragement de vaches laitières en Lorraine : RUGET *et al.*, 2012b). Ces changements peuvent aller jusqu'à des changements de type de fourrages, de dimensionnement de la sole fourragère, voire de changement d'ateliers (MARTIN *et al.*, 2012).

Un **désaccord important** entre les résultats des 2 études se maintient **sur le sens de variation des rendements estimés avec STICS dans le futur lointain** : dans ACTA-CC, il y a une fréquence importante de stations où le rendement des prairies diminue dans le futur lointain, tandis que, dans Climator, les rendements augmentent toujours plus dans le futur.

Une première constatation sur les résultats de STICS est que, quand le changement climatique devient plus marqué, dans le lointain, les productions sont plus faibles que dans le présent, même dans Climator : une diminution est vue dans Climator précisément dans les stations et les zones où les augmentations de températures sont les plus fortes (Bordeaux, Toulouse, ce qui correspond à la zone côtière de l'Ouest). On pourrait donc interpréter les différences apparentes comme une différence d'équilibre entre facteurs favorables et défavorables, avec une évolution à plus ou moins long terme vers des situations défavorables.

La divergence actuelle des résultats de STICS entre les 2 études peut être reliée à quelques différences qui existent entre les 2 jeux de simulation. Une première raison si l'on compare A2 à A1B est l'anomalie de température projetée beaucoup plus forte (échauffement approximativement deux fois plus fort). Avec de telles valeurs, les stress tant hydriques que thermiques pris en compte par STICS peuvent fortement limiter le rendement annuel, ce qui explique le sens de variation très différent des productions en A1B et A2 dans le futur lointain. La seconde raison -qui peut expliquer la différence entre A1B de Climator et B1 d'ACTA-CC dont les températures sont proches- pourrait être l'évolution du rayonnement présente dans le climat de Climator ; en effet, l'augmentation du rayonnement doit avoir comme conséquence une augmentation presque proportionnelle du rendement, ce qui réduirait sensiblement les écarts entre les résultats des 2 études.

La fertilisation élevée dans Climator (quatre fois plus que dans ACTA-CC) minimise l'augmentation du stress azoté engendré par l'augmentation de la production potentielle, donc autorise une production plus élevée.

Une autre différence entre résultats de STICS dans les 2 études vient de la macroporosité du sol, option activée dans Climator et qui s'accompagne d'une infiltrabilité réduite. Ainsi, l'eau séjourne plus longtemps dans le sol ce qui a deux effets. Le premier est que le sol est moins vite drainé, ce qui laisse plus d'eau disponible pour la culture ; les niveaux de stress hydrique sont un peu plus faibles dans Climator que dans ACTA-CC et la production est augmentée. Le second est que le sol est aussi plus souvent engorgé, donc en état d'anoxie, ce qui pourrait expliquer une partie des réductions de rendement observées sur ray-grass, puisqu'il est sensible à l'anoxie.

En conclusion, **plusieurs différences expliquent le comportement plus « optimiste »** (augmentation continue de la production) **constaté dans Climator avec STICS**. En effet, plusieurs conditions sont plus favorables dans Climator que dans ACTA-CC : l'élévation plus modeste des températures, l'augmentation du rayonnement, la fertilisation azotée choisie plus élevée, ainsi que le maintien de l'eau dans le sol grâce à une infiltrabilité ralentie qui réduit le stress hydrique.

Conclusion

L'augmentation modérée de la production à moyen terme dans la plupart des situations peut rendre optimiste, mais il est important de souligner qu'elle est beaucoup plus incertaine dans le futur lointain. En effet, l'augmentation dans le futur s'appuie sur les effets positifs de l'augmentation de température, tant qu'elle est modérée, et de teneur en CO₂. Si son effet sur la production est à peu près sûr, la diminution de transpiration et ses conséquences à l'échelle du cycle de culture sont moins sûres (échauffement de la plante, vieillissement plus rapide ?), ce qui rend ces prévisions moins certaines. Dans le futur lointain, à échéance variable selon les

régions, l'augmentation de température devient défavorable. De plus, le déficit hydrique (pluies -ETP) s'accroît aussi et risque de ne pas être compensé par le gain espéré de consommation lié à l'augmentation de la teneur en CO₂ : à terme, malgré les effets positifs du CO₂, les facteurs négatifs doivent l'emporter.

Les changements sont différents selon les régions, donc les diminutions de production annuelle cumulée interviendront plus ou moins tôt. Avec l'accroissement des déficits hydriques, les diminutions de production annuelle seront plus fortes pour toute la moitié Ouest, et encore accentuées dans le quart Sud-Ouest par les températures défavorables qui y seront atteintes plus tôt qu'ailleurs.

Si la production annuelle globale augmente à court terme, dans toutes les régions, des diminutions ont déjà lieu en été et - même si elles sont faibles - sont déjà systématiques pour STICS, dans toutes les régions. Un point commun à toutes les régions et à toutes les échéances (quel que soit le scénario et les outils employés) est **le changement des calendriers de production, qui nécessitera la constitution généralisée de stocks pour l'été**, stocks dont l'usage interviendra de plus en plus tôt en saison.

L'ensemble de ces résultats conduit essentiellement à constater qu'au-delà de l'aspect favorable du changement climatique sur les niveaux de production dans l'immédiat, des réductions de production se profilent à un terme plus ou moins éloigné. Ces éléments **incitent à une grande vigilance** par rapport à l'évolution du climat, **de façon à préparer des réactions suffisamment précoces à ces effets défavorables.**

Intervention présentée aux Journées de l'A.F.P.F.,
"Le changement climatique : incertitudes et opportunités
pour les prairies et les systèmes fourragers",
les 26-27 mars 2013.

RÉFÉRENCES BIBLIOGRAPHIQUES

- BETTS R.A., BOUCHER O., COLLINS M., COX P.M., FALLOON P.D., GEDNEY N., HEMMING D.L., HUNTINGFORD C., JONES C.D., SEXTON D.M.H., WEBB M.J. (2007) : "Projected increase in continental runoff due to plant responses to increasing carbon dioxide", *Nature*, 448, 1037-1041.
- DURAND J.L., BERNARD F., LARDY R., GRAUX A.I. (2010) : "Changement climatique et prairie : l'essentiel des impacts", *Changement climatique, agriculture et forêt en France : simulations d'impacts sur les principales espèces. Le Livre Vert du projet CLIMATOR (2007-2010)*, N. Brisson, F. Levrault éd., ADEME, 181-190.
- DURAND J.L., LORGEOU J., PICON-COCHARD C., VOLAIRE F. (2013) : "Ecophysiology of the response and of the adaptation of plants foraging and prairie to climate change", *Fourrages*, 214, ce numéro, 111-118.
- ESCOFFIER B., PAGÈS J. (1998) : *Analyses factorielles simples et multiples*, Dunod, Paris, 284 pp.
- GRAUX A.I., BELLOCCHI G., LARDY R., SOUSSANA J.F. (2013a) : "Ensemble modelling of climate change risks and opportunities for managed grasslands in France", *Agricultural and Forest Meteorology*, 170, 114-131.
- GRAUX A.I., MOREAU J.C., RAYNAL H., RUGET F., CARRÈRE P., FAVERDIN P., HILL D. (2013b) : "Adaptation des systèmes d'élevage bovins au changement climatique : intérêts, limites et perspectives des approches de modélisation", *Fourrages*, 215, à paraître.
- IPCC (2007) : *Climate Change: The Physical Science Basis*, Contribution of Working Group I to the 4th Assessment, Report IPCC, Cambridge University Press, Cambridge, UK & New York, 996 pp.
- JONGMAN R.H.G., BUNCE R.G.H., METZGER M.J., MUCHER C.A., HOWARD D.C., MATEUS V.L. (2006) : "Objectives and applications of a statistical environmental stratification of Europe", *Landscape Ecology*, 21, 409-419.
- LELIÈVRE F., SALA S., RUGET F., VOLAIRE F. (2011) : *Evolution du climat du Sud de la France 1950-2009*, Climfour, Les Focus PSDR-3, 12 p, <http://www1.montpellier.inra.fr/PSDR/?page=climfour&rub=realisation>.
- LONG S.P., AINSWORTH E.A., LEAKEY A.D.B., NÖSBERGER J., ORT D.R. (2006) : "Food for thought: Lower-than-expected crop yield stimulation with rising CO₂ concentrations", *Science*, 312, 1918-1921.
- MARTIN G., FELTEN B., MAGNE M.A., PIQUET M., SAUTIER M., THEAU J.P., THENARD V., DURU M. (2012) : "Le rami fourrager : un support pour la conception de scénarios de systèmes fourragers avec des éleveurs et des conseillers", *Fourrages*, 210, 119-128.
- MOREAU J.C., RUGET F., LACROIX B., LORGEOU J., GATE P., POISSON S., CLOPPET E., SOUVERAIN F. (2009) : *Changement climatique, Conséquences et enseignements pour les grandes cultures et l'élevage herbivore*, Recueil de communications, ACTA Institut de l'Elevage-Arvalis éd., 144 p.
- OLESEN J.E., TRNKA M., KERSEBAUM K.C., SKJELVAG A.O., SEGUIN B., PELTONEN-SAINIO P., ROSSI F., KOZYRA J., MICALÉ F. (2011) : "Impacts and adaptation of European crop production systems to climate change", *Eur. J. Agron.*, 34, 96-112.
- POISSON S. (2009) : "Caractérisation des climats à venir, spatialisation sur le territoire français métropolitain et application en agronomie", Moreau et al., *Changement climatique, Conséquences et enseignements pour les grandes cultures et l'élevage herbivore*, Recueil de communications, ACTA Institut de l'Elevage-Arvalis éd., 59-69.
- RUGET F., MOREAU J.C., FERRAND M., POISSON S., GATE P., LACROIX B., LORGEOU J., CLOPPET E., SOUVERAIN F. (2010) : "Describing the possible climate changes in France and some examples of their effects on main crops used in livestock systems", *Adv. Sci. Res.*, 4, 99-104, www.adv-sci-res.net/4/99/2010.
- RUGET F., CLASTRE P.; MOREAU J.C., CLOPPET E., SOUVERAIN F., LACROIX B., LORGEOU J. (2012a et 2012b) : "Conséquences possibles des changements climatiques sur la production fourragère en France. I. Estimation par modélisation et analyse critique. II. Exemples de quelques systèmes d'élevage", *Fourrages*, 210, 87-98, et 211, 243-251.
- SAUTIER M., MARTIN-CLOUAIRE R., DURU M. (2013) : "Caractérisation du changement et de la variabilité climatique en vue de l'adaptation des systèmes fourragers à base d'herbe", *Fourrages*, 215, à paraître.
- TERRAY L., PAGÉ C., DÉQUÉ M., FLÉCHER C. (2010) : "L'évolution du climat en France au travers de quelques indicateurs agroclimatiques", *Changement climatique, agriculture et forêt en France : simulations d'impacts sur les principales espèces. Le Livre Vert du projet CLIMATOR*, N. Brisson, F. Levrault éd., ADEME, 19-32.
- TRNKA M., OLESEN J.E., KERSEBAUM K.C., SKJELVÅG A.O., EITZINGER J., SEGUIN B., PELTONEN-SAINIO P., RÖTTER R., ANA IGLESIAS, ORLANDINI S., DUBROVSK M., HLAVINKA P., BALEK J., ECKERSTEN H., CLOPPET E., CALANCA P., GOBIN A., VU_ETI_V., NEJEDLIK P., KUMAR S., LALIC B., MESTRE A., ROSSI F., KOZYRA J., SEMERÁDOVÁ D., ALUD Z. (2011) : "Agroclimatic conditions in Europe under climate change", *Global Change Biology*, 17, 2298-3218.



Association Française pour la Production Fourragère

La revue *Fourrages*

est éditée par l'Association Française pour la Production Fourragère

www.afpf-asso.org



AFPF – Centre Inra – Bât 9 – RD 10 – 78026 Versailles Cedex – France

Tél. : +33.01.30.21.99.59 – Fax : +33.01.30.83.34.49 – Mail : afpf.versailles@gmail.com

Association Française pour la Production Fourragère